

НЕЛИНЕЙНЫЙ ЦИКЛОТРОННО-ПРИМЕСНЫЙ РЕЗОНАНС В ПОЛУПРОВОДНИКАХ

B. A. Маргулис *

Мордовский государственный университет им. Н. П. Огарева
430000, Саранск, Россия

Поступила в редакцию 16 марта 2004 г.

Исследовано нелинейное поглощение электромагнитного излучения электронами в квантующем магнитном поле. Показано, что учет многофотонных процессов приводит к дополнительным максимумам на кривой поглощения. Найдены форма и расположение этих максимумов. Показано, что поглощение нелинейно и немонотонно зависит от напряженности электрического поля в электромагнитной волне. Полученные результаты хорошо согласуются с экспериментом.

PACS: 71.70.Di, 78.20.-e

1. ВВЕДЕНИЕ

Для электронов в зоне проводимости полупроводника, помещенного в квантующее магнитное поле \mathbf{B} , возможно несколько различных типов высокочастотных резонансных переходов, обусловленных поглощением фотонов. При частоте излучения $\omega = \omega_c$ возникает циклотронный резонанс, а на частотах $\omega = n\omega_c \pm \omega_0$ ($n = 0, 1, 2, \dots$) возникают циклотронно-фононные резонансы (CFR), сопровождаемые эмиссией или адсорбцией оптических фононов с частотой ω_0 . В частности, циклотронно-фононные переходы могут происходить с переворотом спина или приводить к переходу между долинами в многодолинных полупроводниках. Подробный обзор теоретических и экспериментальных работ в этой области, выполненных до 1978 г., сделан в [1].

Рассеяние электронов на примесях также может приводить к резонансным переходам на гармониках циклотронной частоты ω_c , а именно, при $\omega = n\omega_c$ [2, 3]. В этих работах резонансное поглощение исследовалось с использованием хаотически расположенных точечных потенциалов, которые моделировали нейтральные примеси. Расчет коэффициента поглощения в [2, 3] велся на основе метода [4], основанного на теории возмущений. Однако использование теории возмущений для δ -образных потен-

циалов в размерности больше единицы, как известно, не является допустимым [6].

В случае, когда напряженность электромагнитного поля не мала, кроме однофотонных возможностей и многофотонные процессы (нелинейный CFR). Этот эффект рассмотрен в [7], где показано, что резонансные частоты имеют вид $s\omega = n\omega_c \pm \omega_0$ ($s, n = 0, 1, 2, \dots$).

Можно отметить, что резонансные переходы, о которых говорилось выше, возможны и при рассеянии на ионизованных примесях. Переходы электронов с поглощением фотонов и рассеяние такими примесями могут происходить как без захвата, так и с захватом электрона примесью. Далее будут рассмотрены только переходы первого типа. Исследованию таких циклотроно-примесных переходов в различных полупроводниках в линейном по полю приближении посвящен целый ряд теоретических и экспериментальных работ [8–17]. В экспериментальной работе [9] исследовался и двухфотонный циклотроно-примесный резонанс.

Целью настоящей работы является исследование нелинейного резонансного поглощения электромагнитного излучения электронами зоны проводимости, обусловленного рассеянием на ионизованных примесях.

Будем считать, что все примеси одинаковые и расположены в образце хаотично. Если среднее расстояние между примесями много больше, чем тепло-

*E-mail: theorphysics@mrsu.ru

вая длина волны электрона $\lambda_T = \hbar/\sqrt{2m^*T}$ (невырожденный полупроводник) или фермиевская длина волны электрона $\lambda_F = \hbar/\sqrt{2m^*\varepsilon_F}$ (вырожденный полупроводник), то усредненная по положению примесей вероятность рассеяния на N_i -центрах рассеяния равна вероятности рассеяния на одном центре, умноженной на число центров N_i .

Для примеси, находящейся в начале координат, простейший вид экранированной потенциальной энергии электрон-примесного взаимодействия хорошо известен:

$$U(r) = \frac{Ze^2}{\varepsilon r} e^{-\kappa r}. \quad (1)$$

Здесь $\kappa = 1/r_0$, r_0 — радиус экранирования, Ze — заряд примеси, ε — диэлектрическая постоянная. Эту потенциальную энергию для дальнейшего удобно представить в виде разложения Фурье [18]

$$U(\mathbf{r}) = \frac{4\pi Ze^2}{\varepsilon V_0} \sum_{\mathbf{q}} \frac{1}{q^2 + \kappa^2} \exp(i\mathbf{q} \cdot \mathbf{r}), \quad (2)$$

где V_0 — нормировочный объем. Введем величину $C_{\mathbf{q}} = 4\pi Ze^2/\varepsilon V_0(q^2 + \kappa^2)$. Тогда потенциальная энергия (2) примет вид

$$U(\mathbf{r}) = \sum_{\mathbf{q}} C_{\mathbf{q}} \exp(i\mathbf{q} \cdot \mathbf{r}).$$

В соответствии с простой теорией экранировки [19] для невырожденного полупроводника радиус экранирования не зависит от магнитного поля и равен классическому дебаевскому радиусу. Далее везде при рассмотрении зависимости поглощения от внешнего магнитного поля используется независимость κ от B . Коэффициент нелинейного циклотронно-примесного поглощения $\Gamma(\omega)$ можно получить в первом порядке теории возмущений по электрон-примесному возмущению методом, аналогичным использованному в [7]. Далее мы будем считать, что магнитная длина $l_B = \sqrt{c\hbar/eB}$ много больше постоянной решетки, и, следовательно, можно пользоваться приближением электронной эффективной массы [20], которую для простоты будем считать изотропной. Предположим, что магнитное поле $\mathbf{B} \parallel z$ квантующее, энергия фотона $\hbar\omega \gg T$, а столкновительная ширина уровней электронов \hbar/τ мала по сравнению с температурой T и $\hbar\omega$. Здесь τ — время релаксации электронного импульса на рассеивателях.

2. ГАМИЛЬТОНИАН И ВЕРОЯТНОСТЬ ПЕРЕХОДА

Рассмотрим взаимодействие электронов с фотонами и ионизованными примесями, индуцирующее

переходы между магнитными подзонами Ландау. Не возмущенный примесями гамильтониан электрона в поле электромагнитной волны и в постоянном и однородном магнитном поле имеет вид

$$H_0 = \frac{1}{2m^*} \left(\mathbf{p} - \frac{e}{c} \mathbf{A} \right)^2. \quad (3)$$

Векторный потенциал полей $\mathbf{A} = \mathbf{A}_1 + \mathbf{A}_2$, где $\mathbf{A}_1 = \mathbf{a} \cos \omega t$, $\mathbf{a} = \mathbf{E}_0/\omega$, $\mathbf{A}_2 = (-By, 0, 0)$. Здесь E_0 и ω — амплитуда напряженности и частота переменного электрического поля волны, B — индукция постоянного магнитного поля. Точное решение уравнения Шредингера с гамильтонианом (3) найдено в [5].

Оператор электрон-примесного взаимодействия V имеет вид

$$V = \sum_i U(\mathbf{r} - \mathbf{R}_i). \quad (4)$$

Здесь \mathbf{R}_i — положение примесей.

Вероятность электронных переходов, обусловленную одновременным действием примесей и электромагнитного поля, учитывающую многофотонные процессы, можно получить, используя результаты [7]. После простых, но довольно громоздких преобразований, усредняя по положениям примесей, получим

$$\begin{aligned} W_{\alpha\alpha'} = & \frac{2\pi N_i}{\hbar^2} \times \\ & \times \sum_{q,s} |c_q|^2 D_{ll}(q_\perp) |P_s(\mathbf{f})|^2 \delta(p'_x, p_x + \hbar q_x) \times \\ & \times \delta(p'_z, p_z + \hbar q_z) \delta \left[\omega_c(l' - l) - s\omega + \frac{\hbar q_z^2}{2m^*} - \frac{p_z q_z}{m^*} \right]. \end{aligned} \quad (5)$$

Здесь $q_\perp = \sqrt{q_x^2 + q_y^2}$,

$$\begin{aligned} D_{ll}(q_\perp) = & \frac{\exp(-\chi)}{2^l l! 2^{l'} l'!} \times \\ & \times \begin{cases} (2^l l')^2 \left(\frac{\kappa}{2}\right)^{l-l'} [L_l^{l-l'}(\chi)]^2, & l \geq l', \\ (2^{l'} l')^2 \left(\frac{\kappa}{2}\right)^{l'-l} [L_l^{l'-l}(\chi)]^2, & l < l', \end{cases} \end{aligned} \quad (6)$$

где введено обозначение $\chi = \hbar q_\perp^2 / 2m^* \omega_c$. Входящая в (5) функция $P_s(\mathbf{q})$ равна [5]

$$P_s(\mathbf{q}) = \sum_{s'=-\infty}^{\infty} \exp \left(\frac{i\pi s'}{2} \right) J_{s'-s}(\alpha_1) J_{s'}(\alpha_2), \quad (7)$$

где

$$\begin{aligned}\alpha_1 &= \frac{ea_z q_z}{m^* \omega} - \frac{e(a_x q_x + a_y q_y)}{m^*} \left(\frac{\omega}{\omega_c^2 - \omega^2} \right), \\ \alpha_2 &= \frac{e(a_y q_x - a_x q_y)}{m^*} \left(\frac{\omega_c}{\omega_c^2 - \omega^2} \right).\end{aligned}\quad (8)$$

Здесь $J_s(\alpha)$ — функции Бесселя.

Введем вероятность s -фотонного процесса $W_{\alpha\alpha'}^s$ по формуле

$$W_{\alpha\alpha'} = \sum_s W_{\alpha\alpha'}^s. \quad (9)$$

Тогда коэффициент поглощения Γ^s для s -фотонного процесса можно записать в виде [7]

$$\begin{aligned}\Gamma^s &= \frac{16\pi\hbar n_0 s}{c\sqrt{\varepsilon(\omega)}a^2\omega} \times \\ &\times \left[1 - \exp\left(-\frac{\hbar\omega}{T}\right) \right] \sum_{\alpha,\alpha'} f(\varepsilon_\alpha) W_{\alpha\alpha'}^s.\end{aligned}\quad (10)$$

В случае вырожденного газа $f(\varepsilon_\alpha)$ в (10) нужно заменить на $f_0(\varepsilon_\alpha)[1 - f_0(\varepsilon_{\alpha'})]$, где $f_0(\varepsilon_\alpha)$ — функция Ферми; n_0 — концентрация электронов, $f(\varepsilon_\alpha)$ — большинственное распределение, нормированное на единицу, а множитель в круглых скобках учитывает вынужденное излучение фотонов. Далее мы ограничимся рассмотрением только поперечного случая, когда электрическая составляющая поля электромагнитного излучения $\mathbf{E} \perp \mathbf{B}$, где \mathbf{B} — вектор индукции постоянного и однородного магнитного поля. Отметим, что в точках рассматриваемого резонанса (когдастройка частоты $\Delta\omega = \omega_c(l - l') + sw = 0$) случай $\mathbf{E} \parallel \mathbf{B}$ не представляет интереса, так как в этом случае аргумент функции Бесселя в (5) пропорционален q_z . Как следует из асимптотики J_s при малых значениях аргумента, т. е. при $\Delta\omega = 0$ величина $\Gamma^s(\Delta\omega = 0) = 0$.

В рассматриваемом ниже поперечном случае положим $E = E_x$, тогда

$$\sqrt{\alpha_1^2 + \alpha_2^2} = \frac{eaq_\perp}{m^*(\omega_c^2 - \omega^2)} \sqrt{\omega_c^2 \cos^2 \varphi + \omega^2 \sin^2 \varphi}, \quad (11)$$

где $\tan \varphi = q_y/q_x$.

Воспользовавшись формулой суммирования Графа для функций Бесселя в (5), получим

$$\begin{aligned}W_{\alpha\alpha'}^s &= \frac{2\pi N_i}{\hbar^2} \sum_{\mathbf{q}} |C_{\mathbf{q}}|^2 D_{ll'}(q_\perp) \times \\ &\times \left| J_s \left(\sqrt{\alpha_1^2 + \alpha_2^2} \right) \right|^2 \delta(p'_x, p_x + \hbar q_x) \times \\ &\times \delta(p'_z, p_z + \hbar q_z) \delta \left(\Delta\omega - \frac{\hbar q_z^2}{2m^*} + \frac{p_z q_z}{m^*} \right).\end{aligned}\quad (12)$$

Подставляя (12) в (10), получим

$$\begin{aligned}\Gamma^s &= \frac{4\pi^2 V_0 n_0 s N_i}{c\hbar\sqrt{\varepsilon(\omega)}a^2\omega} \left(1 - \exp\left(-\frac{\hbar\omega}{T}\right) \right) \times \\ &\times \sum_{\alpha,l'} \int dq_\parallel \int dq_\perp q_\perp |C_{\mathbf{q}}|^2 D_{ll'}(q_\perp) \times \\ &\times f(\varepsilon_\alpha) \delta \left(\Delta\omega - \frac{\hbar^2 q_\parallel^2}{2m^*} + \frac{p_\parallel q_\parallel}{m^*} \right) \times \\ &\times \int_0^{2\pi} \left| J_s \left(\frac{eaq_\perp}{m^*} \frac{\sqrt{\omega_c^2 \cos^2 \varphi + \omega^2 \sin^2 \varphi}}{\omega_c^2 - \omega^2} \right) \right|^2 d\varphi,\end{aligned}\quad (13)$$

где $q_z \equiv q_\parallel$.

Из (13) можно получить коэффициент однофотонного поглощения предельным переходом, положив $s = 1$ и используя неравенство для слабого поля E_x :

$$\frac{eaq_\perp}{m^*} \frac{\sqrt{\omega_c^2 \cos^2 \varphi + \omega^2 \sin^2 \varphi}}{\omega^2 - \omega_c^2} \ll 1. \quad (14)$$

Взяв асимптотику функций Бесселя при малых значениях аргумента, из (13) получим

$$\begin{aligned}\Gamma^1 &= \frac{(2\pi)^3 e^2 V_0 n_0 N_i}{4c\hbar\sqrt{\varepsilon(\omega)} m^{*2}\omega} \left[\frac{1}{(\omega - \omega_c)^2} + \frac{1}{(\omega + \omega_c)^2} \right] \times \\ &\times \sum_{\alpha,l'} \int dq_\parallel \int dq_\perp q_\perp^3 \times \\ &\times |C_{\mathbf{q}}|^2 D_{ll'}(q_\perp) f(\varepsilon_\alpha) \delta \left(\Delta\omega - \frac{\hbar q_\parallel^2}{2m^*} + \frac{p_\parallel q_\parallel}{m^*} \right).\end{aligned}\quad (15)$$

Этот же результат получается, когда рассматриваются переходы во втором порядке по электрон-примесному и электрон-фотонному возмущениям методом, изложенным в [4].

При условии, когда реализуется неравенство, обратное по отношению к (14), имеет место сильно нелинейный случай, который рассматривается ниже. С помощью асимптотики функций Бесселя при больших значениях аргумента интеграл в (13) по углу φ можно оценить как

$$\int_0^{2\pi} |J_s|^2 d\varphi \approx \frac{2m^*}{\pi e a q_\perp} |\omega_c^2 - \omega^2| \int_0^{2\pi} \frac{\cos^2 \left[ea q_\perp \sqrt{\omega^2 \sin^2 \varphi + \omega_c^2 \cos^2 \varphi} / (m^* |\omega_c^2 - \omega^2|) - \pi s/2 - \pi/4 \right]}{\sqrt{\omega^2 \sin^2 \varphi + \omega_c^2 \cos^2 \varphi}} d\varphi. \quad (16)$$

Усредняя входящий в (16) квадрат косинуса большого аргумента, т. е. заменяя его на $1/2$, получаем

$$\int_0^{2\pi} |J_s|^2 d\varphi \approx \begin{cases} \frac{8m^*|\omega_c^2 - \omega^2|}{\pi e a q_\perp \omega} K\left(\frac{\sqrt{|\omega_c^2 - \omega^2|}}{\omega}\right), & \text{если } \omega > \omega_c, \\ \frac{8m^*|\omega_c^2 - \omega^2|}{\pi e a q_\perp \omega_c} K\left(\frac{\sqrt{|\omega_c^2 - \omega^2|}}{\omega_c}\right), & \text{если } \omega_c > \omega. \end{cases} \quad (17)$$

Здесь $K(x)$ — полный эллиптический интеграл первого рода. Подставляя (17) в (13), получаем

$$\Gamma^s = A_s(\omega) \sum_{\alpha, l'} \int dq_\parallel \int dq_\perp |C_q|^2 D_{ll'}(q_\perp) f(\varepsilon_\alpha) \delta\left(\Delta\omega - \frac{\hbar q_\parallel^2}{2m^*} + \frac{p_\parallel q_\parallel}{m^*}\right), \quad (18)$$

где

$$A_s(\omega) = \begin{cases} \frac{16\pi V_0 n_0 N_i m^* |\omega_c^2 - \omega^2| s}{e c \hbar \sqrt{\varepsilon(\omega)} a^3 \omega^2} K\left(\frac{\sqrt{|\omega_c^2 - \omega^2|}}{\omega}\right) \left[1 - \exp\left(-\frac{\hbar\omega}{T}\right)\right], & \text{если } \omega > \omega_c, \\ \frac{16\pi V_0 n_0 N_i m^* |\omega_c^2 - \omega^2| s}{e c \hbar \sqrt{\varepsilon(\omega)} a^3 \omega \omega_c} K\left(\frac{\sqrt{|\omega_c^2 - \omega^2|}}{\omega_c}\right) \left[1 - \exp\left(-\frac{\hbar\omega}{T}\right)\right], & \text{если } \omega < \omega_c. \end{cases} \quad (19)$$

3. ФОРМА И ИНТЕНСИВНОСТЬ РЕЗОНАНСНЫХ ПИКОВ

Рассмотрим далее интеграл по q_\perp , который имеет вид

$$B(q_\parallel) = \int_0^\infty dq_\perp |C_q|^2 D_{ll'}(q_\perp). \quad (20)$$

Из-за δ -функции, входящей в (18), поглощение имеет сингулярность в точках $\Delta\omega = 0$. Характер сингулярности можно исследовать, если взять $\Delta\omega \ll \omega_c$. Тогда во входящем в (18) интеграле по p_\parallel и q_\parallel благодаря множителям $f(\varepsilon_\alpha)$ и δ существенной будет область интегрирования, размеры которой определяются наибольшей из величин kT или $\sqrt{(2m^*\Delta\omega)/\hbar}$. Однако обе эти величины много меньше магнитной длины l_B . Поэтому для изучения характера сингулярности можно считать функцию $B(q_\parallel)$ постоянной и положить в ней $q_\parallel = 0$. Если концентрация примесей и температура таковы, что $\kappa = (\varepsilon T / 4\pi n_0 e^2)^{1/2}$ удовлетворяет неравенству

$\kappa \ll 1/l_H$ (условие достаточно сильного магнитного поля), то экранировкой в формуле (20) можно пренебречь и положить в ней $\kappa = 0$. В этом случае $B(q_\parallel)$ примет вид

$$B(q_\parallel) \approx \left(\frac{4\pi z e^2}{V_0}\right)^2 \int_0^\infty dq_\perp \frac{1}{q_\perp^4} D_{ll'}(q_\perp). \quad (21)$$

Входящий в (21) интеграл можно вычислить, используя (21) и выражение (6) для $D_{ll'}(q_\perp)$. Сначала приведем его к виду

$$B(q_\parallel) = \left(\frac{4\pi z e^2}{\varepsilon V_0}\right)^2 \frac{l_B^3 l!}{4\sqrt{2}} \frac{l!}{l'!} \times \int_0^\infty e^{-x} x^{l'-l-5/2} [L_l^{l'-l}(x)]^2 dx, \quad l' \geq l. \quad (22)$$

Для $l' < l$ в выражении (22) надо сделать замену $l' \leftrightarrow l$. Для нахождения $B(q_\parallel)$ используем [22], тогда при $l - l' \geq 2$ имеем

$$B(q_\parallel) = \left(\frac{4\pi Z e^2}{\varepsilon V_0}\right)^2 \frac{l_B^3 l!}{l'!} \frac{\Gamma(l' - l - 3/2) \Gamma(l' + 1)}{\Gamma(l' - l + 1) (l!)^2} \times \times \left\{ \frac{d^l}{dx^l} \left[\frac{F\left(\frac{l' - l - 3/2}{2}, \frac{l' - l - 1/2}{2}; l' - l + 1; \frac{4x}{(1+x)^2}\right)}{(1+x)^{l'-l-3/2} (1-x)^{5/2}} \right] \right\}_{x=0}, \quad (23)$$

где $\Gamma(x)$ — функция Эйлера, $F(\alpha, \beta, \gamma, \delta)$ — гипергеометрическая функция.

В наиболее актуальном случае, когда $l = 0$, $l' > 1$, выражение (23) сильно упрощается:

$$B(q_{\parallel}) = \left(\frac{4\pi Ze^2}{\varepsilon V_0}\right)^2 \frac{l_B^3}{2\sqrt{2}} \Gamma\left(l' + \frac{1}{2}\right). \quad (24)$$

При $l = 0$, $l' = 1$ интеграл (22) расходится на нижнем пределе, но если взять q_{\parallel} , $\kappa \neq 0$, то из (22) получим [23]

$$\begin{aligned} B(q_{\parallel}) = & \left(\frac{4\pi Ze^2}{\varepsilon V_0}\right)^2 \frac{l_B^2 \Gamma(3/2)}{2\sqrt{q_{\parallel}^2 + \kappa^2}} \times \\ & \times \psi\left[\frac{3}{2}, \frac{1}{2}; \frac{l_B^2(q_{\parallel}^2 + \kappa^2)}{2}\right], \end{aligned} \quad (25)$$

где $\psi(\alpha, \beta; x)$ — вырожденная гипергеометрическая функция. За счет малости знаменателя этот член дает основной вклад в интенсивность поглощения. Как следует из (22)–(25), выражение $B(q_{\parallel})$ всегда можно представить в виде

$$B(q_{\parallel}) = \left(\frac{4\pi Ze^2}{\varepsilon V_0}\right)^2 M_{l'l}. \quad (26)$$

Тогда из (18) следует, что в окрестности точек резонанса парциальные коэффициенты поглощения $\Gamma_{l'l}$ ($\Gamma^s = \sum_{l,l'} \Gamma_{l'l}^s$) имеют вид

$$\begin{aligned} \Gamma_{l'l}^s = & A_s(\omega) \left(\frac{4\pi Ze^2}{\varepsilon V_0}\right)^2 \sum_{p_x, p_z} M_{l'l} f(\varepsilon_{\alpha}) \times \\ & \times \int dp'_{\parallel} \delta\left(\hbar\Delta\omega + \frac{p_{\parallel}^2}{2m^*} - \frac{p'^2_{\parallel}}{2m^*}\right), \end{aligned} \quad (27)$$

где $p_z = p_{\parallel}$. Из (27) получаем

$$\begin{aligned} \Gamma_{l'l}^s = & 2m^* A_s(\omega) \left(\frac{4\pi Ze^2}{\varepsilon V_0}\right)^2 \times \\ & \times M_{l'l} \int_0^{\infty} \frac{f(\varepsilon_{\parallel} + \varepsilon_l) d\varepsilon}{\sqrt{\varepsilon_{\parallel}(\varepsilon_{\parallel} + \hbar\Delta\omega)}}, \end{aligned} \quad (28)$$

где введено $\varepsilon_{\parallel} = p_{\parallel}^2/2m^*$, $\varepsilon_l = \hbar\omega_c(l + 1/2)$. Согласно [4] $f(\varepsilon_{\parallel} + \varepsilon_l)$ имеет вид

$$f(\varepsilon_{\parallel} + \varepsilon_l) = \frac{2 \operatorname{sh}(\hbar\omega_c/T)}{\sqrt{2\pi m^* T}} \exp\left[-\frac{\varepsilon_{\parallel} + \varepsilon_l}{T}\right]. \quad (29)$$

Из (28) и (29) получим

$$\begin{aligned} \Gamma_{l'l}^s = & \frac{4 \operatorname{sh}(\hbar\omega_c/T) m^*}{\sqrt{2\pi m^* T}} \left(\frac{4\pi Ze^2}{\varepsilon V_0}\right)^2 A_s(\omega) \times \\ & \times \exp\left\{\left[\hbar\Delta\omega - \hbar\omega_c\left(l + \frac{1}{2}\right)\right]/T\right\} \times \\ & \times K_0\left(\frac{\hbar|\Delta\omega|}{T}\right). \end{aligned} \quad (30)$$

Здесь $K_0(x)$ — функция Макдональда. Поскольку у функции Макдональда в точке $x = 0$ имеется логарифмическая сингулярность, при выполнении условия $\Delta\omega = 0$ имеет место резонанс в поглощении электромагнитного излучения. Из этого условия находим резонансные частоты

$$\omega_r^s = \frac{l' - l}{s} \omega_c. \quad (31)$$

Как следует из (30), характер сингулярности в рассмотренном случае тот же, что и в CFR. Следовательно, вывод в [4] о поведении кривой слева и справа от точек, где $\Delta\omega = 0$, справедлив и в нашем случае. Справа от резонансных точек, где $\hbar\Delta\omega \gg T$, поглощение зависит от $\Delta\omega$ как $1/\sqrt{\Delta\omega}$, переходя при $\hbar\Delta\omega \ll T$ в $\ln \hbar|\Delta\omega|/T$, а слева при $\Delta\omega < 0$ и $\hbar|\Delta\omega| \ll T$ сингулярность также логарифмическая, но вдали при $\Delta\omega < 0$ и $\hbar|\Delta\omega| \gg T$ на корневую особенность накладывается экспоненциальное убывание $|\Delta\omega|^{-1/2} \exp[-\hbar|\Delta\omega|/T]$. Таким образом, резонансные пики являются асимметричными, т. е. правое крыло пика более пологое, чем левое. Этот же результат проявляется и в эксперименте [9]. Интересно отметить, что зависимости $\Gamma^s(\omega_c)$ отличаются от $\Gamma^s(\omega)$ тем, что у них, наоборот, левое крыло более пологое, чем правое (рис. 1 и 2). Это обстоятельство обусловлено множителем $\operatorname{sh}(\hbar\omega_c/T)$ в (30). Как следует из (31), s -фотонный резонанс имеет место при дробных кратных циклотронной частоты. Для однофотонного поглощения ($s = 1$) резонанс возникает на целых кратных циклотронной частоты, т. е. на гармониках циклотронной частоты. Сравнивая выражение для однофотонного поглощения (15) с (30), видим, что форма резонансных максимумов на кривой поглощения и характер сингулярности в точке резонанса в нелинейном случае такие же, как и в линейном. Этот же вывод можно сделать относительно зависимости амплитуды резонансных максимумов на кривой поглощения от температуры и магнитного поля. Зависимость коэффициента поглощения от числа фотонов, участвующих в переходах, определяется функцией $A_s(\omega)$. Как следует из (19), эта зависимость в основном определяется как s^{-1} . Поэтому амплитуда фотонных повторений основного ($s = 1$) пика уменьшается с ростом s . Эта оценка хорошо

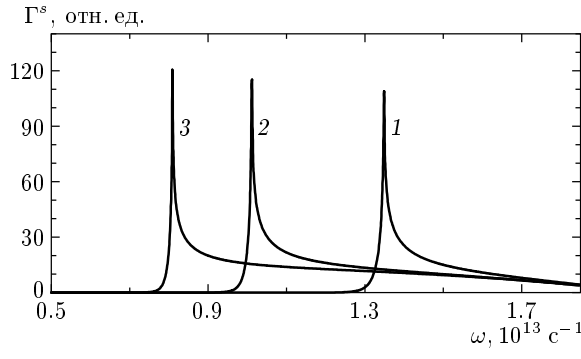


Рис. 1. Зависимость парциальных коэффициентов поглощения от частоты излучения; $\omega_c = 2.02 \cdot 10^{13} \text{ c}^{-1}$, $T = 10 \text{ K}$, $l = 2$, $l' = 0$; кривая 1 — $s = 3$, кривая 2 — $s = 4$, кривая 3 — $s = 5$

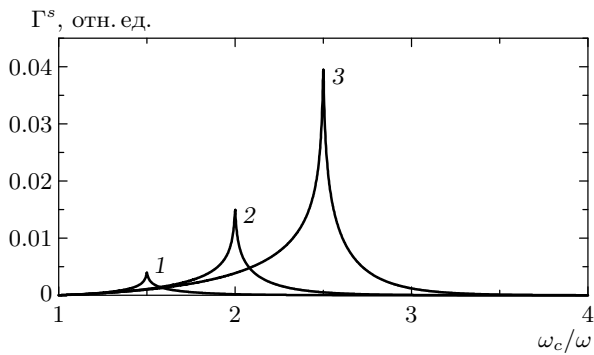


Рис. 2. Зависимость парциальных коэффициентов поглощения от магнитного поля; $\omega = 5 \cdot 10^{12} \text{ c}^{-1}$, $T = 30 \text{ K}$, $l = 2$, $l' = 0$; кривая 1 — $s = 3$, кривая 2 — $s = 4$, кривая 3 — $s = 5$

согласуется с экспериментом [9] для случая двухфotonного циклотрон-примесного резонанса. Из (31) видно, что эти повторения расположены не эквидистантно на кривой $\Gamma^s(\omega)$, а именно, расстояние между ближайшими пиками $\omega_r^s - \omega_r^{s+1} \propto [s(s+1)]^{-1}$. Таким образом, расстояния между ближайшими повторениями основного пика уменьшаются с ростом s .

4. ЗАКЛЮЧЕНИЕ

Интересно сопоставить амплитуды пиков нелинейного и линейного резонансов: в главном случае из (15) и (19) с учетом (24) получаем оценку

$$\frac{(\Gamma_{l'0}^1)^{nonlin}}{(\Gamma_{l'0}^1)^{lin}} \propto \left(\sqrt{\frac{m^* \hbar \omega_c^3}{e E_0}} \right)^3. \quad (32)$$

Сравним интенсивность пиков линейного циклотрон-примесного резонанса (CIR) и циклотрон-фононного резонанса (CFR). Для этого запишем выражение $\Gamma_{l'0}^1$ в виде

$$\begin{aligned} \Gamma_{l'0}^1(CIR) &= \left(\frac{4\pi Z e^2}{V_0} \right) \frac{l_H^3 \Gamma(l' + 1/2)}{2\sqrt{2}} \times \\ &\times \frac{(2\pi)^3 e^2 V_0 n_0 N_i}{4c\hbar\sqrt{\varepsilon} m^* \omega} \left[\frac{1}{(\omega - \omega_c)^2} + \frac{1}{(\omega + \omega_c)^2} \right] \times \\ &\times \frac{\operatorname{sh}(\hbar\omega_c/T)m^*}{\sqrt{2\pi m^* T}} \exp \left[\hbar\Delta\omega - \hbar\omega_c \left(l' + \frac{1}{2} \right) \right] \times \\ &\times K_0 \left(\frac{\hbar|\Delta\omega|}{T} \right). \end{aligned} \quad (33)$$

Выражение $\Gamma_{l'0}^{CFR}$ для LO-фононов возьмем из [4]. Тогда

$$\frac{\Gamma_{l'0}^{CIR}}{\Gamma_{l'0}^{CFR}} \approx \frac{(4\pi)^{3/2} (l' - 1/2) Z^2 e^2 l_B^2}{\hbar\omega_0} \left(\frac{N_i}{\varepsilon V_0} \right). \quad (34)$$

Для поля $B = 10 \text{ Тл}$ и $N_i \approx 10^{15} \text{ см}^{-3}$ отношение $\Gamma_{l'0}^{CIR}/\Gamma_{l'0}^{CFR} \sim 4$. Таким образом, в условиях эксперимента [24] интенсивность пиков линейного CIR существенно больше, чем CFR. Аналогичный результат получился и в эксперименте [24]. Отметим, что в [2] была высказана гипотеза о том, что наблюдавшиеся в [24] пики на гармониках циклотронного резонанса обусловлены рассеянием на ионизованных примесях. Приведенные выше оценки согласуются с этой гипотезой.

Для наблюдения нелинейного CIR необходимо выполнение некоторого условия на напряженность поля электромагнитной волны. Из (11) следует, что условие нелинейности эффекта при $\omega \sim \omega_c$ имеет вид

$$eE_0 q_\perp / m^* \omega_c \gtrsim 1. \quad (35)$$

Полагая $q_\perp \sim l_B^{-1}$, из (35) получим $eE_0 l_B \gtrsim \hbar\omega_c \gg T$. Это неравенство, как известно [25], является критерием существенной зависимости вероятности электронных переходов в магнитном поле от амплитуды переменного электрического поля.

Оценив $\omega_c \sim 2 \cdot 10^{13} \text{ c}^{-1}$ и $q_\perp = 10^5 \text{ см}$, получим для параметров n -InSb следующую из (35) оценку для $E_0 \sim 10^3 \text{ В/см}$. Отметим, что значения $\omega \sim 10^{14} \text{ c}^{-1}$ и $E_0 \sim 10^3 \text{ В/см}$ можно получить при облучении образца электромагнитным излучением CO₂-лазера [26]. Такое излучение обычно используется при исследовании CIR в эксперименте.

Для оценки величины парциальных коэффициентов в максимуме заменим во входящем в (30) резонансном множителе

$$f(\Delta\omega) = \exp \left\{ \frac{\hbar\Delta\omega - \hbar\omega_c(l + 1/2)}{T} \right\} K_0 \left(\frac{\hbar|\Delta\omega|}{T} \right),$$

содержащем слабую (логарифмическую) сингулярность, аргумент $\hbar\Delta\omega$ на $\hbar\Delta\omega+i\delta$, где δ — феноменологическая константа затухания. Тогда этот множитель в окрестности резонансного поглощения примет вид

$$\begin{aligned} \operatorname{Re} f(\Delta\omega + i\delta) = & (\ln 2 - C) \cos \frac{\delta}{T} + \\ & + \sin \frac{\delta}{T} \arcsin \left(\frac{\delta}{\sqrt{\delta^2 + \hbar^2(\Delta\omega)^2}} \right) - \\ & - \frac{1}{2} \cos \frac{\delta}{T} \ln \left[\frac{\hbar^2(\Delta\omega)^2 + \delta^2}{T^2} \right], \quad (36) \end{aligned}$$

где C — константа Эйлера.

Первые два члена в этом выражении дают монотонный вклад в поглощение, а последний — резонансный вклад. Оценим величину этого множителя в точке резонанса, взяв $\delta = \hbar/\tau_0$, где время релаксации $\tau_0 \sim 10^{-12}$ с. Тогда при $T = 10$ К имеем $\operatorname{Re} f[\Delta\omega\hbar + i\delta] \sim 1$. Для линейного поглощения получим в точке резонанса оценку $\Gamma_{0l}^{(1)}(\text{CIR}) \sim 0.3 \text{ см}^{-1}$. Как следует из (32), при $\omega_c \sim 10^{13} \text{ с}^{-1}$ и $E_0 \sim 10^3 \text{ В/см}$ отношение $\Gamma_{nonlin}/\Gamma_{lin} \sim 100$, следовательно, $\Gamma_{nonlin} \gg \Gamma_{lin}$. Однако поглощение убывает с ростом поля в области нелинейного эффекта, так что зависимость амплитуды максимумов от поля E_0 является немонотонной. Эта зависимость, как следует из (13), обусловлена немонотонной зависимостью функции Бесселя от своего аргумента.

В случае вырожденного газа для исследования резонансов в коэффициенте поглощения при низких температурах можно положить функцию распределения $f_0(\varepsilon_\alpha) = 1$. Тогда в окрестности точек резонанса коэффициент имеет ту же логарифмическую сингулярность, что и в невырожденном случае. Это обусловлено тем, что сингулярность происходит от особенностей в плотности начальных и конечных состояний и не зависит от вырождения электронного газа. В приведенных выше расчетах пренебрегалось разогревом электронного газа электрическим полем электромагнитного излучения. Разогрев можно не учитывать, если выполняется неравенство $(eE_0l_H/T)^2\delta \ll 1$, где δ — параметр неупругости расеяния [25].

ЛИТЕРАТУРА

1. Р. К. Баканас, Ф. Г. Басс, И. Б. Левинсон, ФТП **12**, 1457 (1978).
2. Ю. А. Гуревич, ЖЭТФ **61**, 1120 (1971).
3. Р. И. Рабинович, ФТП **8**, 91 (1973).
4. Ф. Г. Басс, И. Б. Левинсон, ЖЭТФ **49**, 914 (1965).
5. В. П. Олейник, УФЖ **13**, 1205 (1968).
6. А. И. Базъ, Я. Б. Зельдович, А. М. Переломов, *Рассеяние, реакции и распады в нерелятивистской квантовой механике*, Наука, Москва (1971).
7. В. А. Маргулис, ФТП **17**, 910 (1983).
8. J. Kono, S. Takeyama, H. Yokoi, and N. Miura, Phys. Rev. **48**, 10909 (1993).
9. W. Bohm, E. Ettlinger, and W. Prettler, Phys. Rev. Lett. **47**, 1198 (1981).
10. M. A. Hopkins, R. J. Nicholas, D. J. Barnes, and M. Brunnell, Phys. Rev. B **39**, 13302 (1989).
11. E. E. H. Shin, P. N. Argyres, and B. Lax, Phys. Rev. Lett. **28**, 1634 (1972).
12. E. E. H. Shin, P. N. Argyres, and B. Lax, Phys. Rev. B **7**, 3572 (1973).
13. J. R. Apel and T. O. Poehler, Phys. Rev. B **4**, 436 (1971).
14. V. K. Arora and M. A. Al-Mass'ari, Phys. Rev. B **23**, 5619 (1981).
15. G. Bastard, J. Mycielski, and C. Rigaux, Phys. Rev. B **18**, 6990 (1978).
16. J. Van Royen, J. De Sitter, and J. T. Devreese, Phys. Rev. B **30**, 7154 (1984).
17. D. Dunn and A. Suzuki, Phys. Rev. B **29**, 942 (1984).
18. Д. Займан, *Электроны и фононы*, Изд-во иностр. лит., Москва (1962).
19. P. N. Argures and E. N. Adams, Phys. Rev. **104**, 900 (1956).
20. W. Kohn and J. M. Luttinger, Phys. Rev. **108**, 690 (1957).
21. J. M. Luttinger and W. Kohn, Phys. Rev. **97**, 869 (1955).
22. И. С. Градштейн, И. М. Рыжик, *Таблицы интегралов, сумм, рядов и произведений*, Наука, Москва (1971).
23. А. П. Прудников, Ю. А. Брычков, О. И. Марычев, *Интегралы и ряды*, Наука, Москва (1981).
24. E. J. Johnson and D. H. Dickey, Phys. Rev. B **1**, 2676 (1970).
25. А. М. Злобин, П. С. Зырянов, УФН **104**, 353 (1971).
26. Ю. И. Балкарей, Э. М. Эпштейн, ЖЭТФ **63**, 660 (1972).